

بررسی رفتار سری زمانی بازتاب طیفی و شاخص‌های پوشش گیاهی مزارع چغندرقند با استفاده از داده‌های سنجنده MODIS

محسن بدراfsان^۱، یحیی امام^{۲*} و سید رشید فلاح شمسی^۳

(تاریخ دریافت: ۱۳۹۲/۹/۳۰؛ تاریخ پذیرش: ۱۳۹۳/۲/۱)

چکیده

فن آوری سنجش از دور در پژوهش‌های محیط‌زیست و کشاورزی استفاده گسترده‌ای دارد و امروزه به منع ارزشمند و مطمئنی از اطلاعات برای مدیریت تولید گیاهان زراعی و ارزیابی عرضه و تقاضای جهانی این محصولات تبدیل شده است. هدف از این پژوهش بررسی امکان استفاده از داده‌های سنجنده MODIS و شاخص‌های پوشش گیاهی مبتنی بر آنها جهت پایش رشد چغندرقند بود. به همین منظور از داده‌های بازتاب سطحی باندهای قرمز و مادون قرمز نزدیک این سنجنده در دوره‌های هشت روزه و تغکیک‌پذیری مکانی ۷۵۰ متر که از مجموعه MOD09Q1 بود، استفاده شد. داده‌ها در گستره زمانی دهه پایانی اردیبهشت تا دهه آغازین آذر ۱۳۹۰ و از مزارع چغندرقند منطقه اقلید استان فارس تهیه شد. نتایج نشان داد که اگرچه در آغاز دوره رشد چغندرقند تفاوت بازتاب نور قرمز و مادون قرمز نزدیک نسبتاً کم بود، اما با رشد و گسترش شاخصاره و کامل شدن زمین پوش این تفاوت به بیشترین مقدار رسید. بیشترین جذب طیف قرمز و بازتاب مادون قرمز نزدیک در زمان بیشترین پوشش گیاهی و کاهش چشمگیر بازتاب مادون قرمز نزدیک و افزایش نسبی بازتاب قرمز در زمان برداشت مشاهده شد. توانایی شاخص RVI در نشان دادن وضعیت جذب و بازتاب نور قرمز در طول دوره رشد چغندرقند مشخص شد. هم‌چنین الگوی تغییرات شاخص‌های SR و NDVI به خوبی چگونگی رشد چغندرقند در طول زمان را نشان داد. بنابراین در شرایط اقلیمی و مدیریت زراعی موجود واحدهای کشاورزی استان و کشور، داده‌های MODIS و شاخص‌های پوشش گیاهی می‌توانند در پایش تغییرات رشد سایه‌اندازهای گیاهان زراعی از جمله چغندرقند کاربرد داشته باشند.

واژه‌های کلیدی: سنجش از دور، پایش رشد، باند قرمز و مادون قرمز نزدیک، SR، NDVI

- دانشجوی سابق دکتری زراعت و اصلاح نباتات، دانشکده کشاورزی، دانشگاه شیراز و عضو هیئت علمی مرکز تحقیقات کشاورزی و منابع طبیعی استان فارس
 - استاد زراعت و اصلاح نباتات، دانشکده کشاورزی، دانشگاه شیراز
 - دانشیار مدیریت مناطق بیابانی، دانشکده کشاورزی، دانشگاه شیراز
- *: مسئول مکاتبات، پست الکترونیکی: yaemam@shirazu.ac.ir

مقدمه

قرمز نزدیک ($700\text{ تا }1000$ نانومتر) است. در دامنه نور مرئی بیشینه جذب در بخش آبی و قرمز و بیشینه بازتاب در بخش سبز است.

کلروفیل و سایر رنگدانه‌های موجود در سلول‌های نرdbانی برگ حدود $90\text{ تا }70$ درصد نور آبی و قرمز را جذب و نور سبز را بازتاب می‌دهند، به همین دلیل پوشش‌های گیاهی عموماً سبز دیده می‌شوند. بازتاب طیف مادون قرمز نزدیک توسط بافت مزووفیل اسفنجی کترول می‌شود و رنگدانه‌ها نقشی ندارند (۷). کوتیکول و اپیدرم نسبت به طیف مادون قرمز تقریباً به‌طور کامل شفاف هستند به‌طوری‌که مقدار بسیار ناچیزی از طیف مادون قرمز از بخش خارجی برگ بازتاب می‌یابد. با نزدیک شدن به مرحله رسیدگی و یا قرار گرفتن در معرض تنفس، حمله آفات و بیماری‌ها رفتارهای طیفی گیاهان سبز نیز تغییر می‌کند. این تغییرات به‌طور همزمان در هر دو طیف مرئی و مادون قرمز نزدیک رخ می‌دهد، اما اغلب در طیف مادون قرمز قابل مشاهده‌تر است. اهمیت طیف قرمز و مادون قرمز نزدیک به حدی است که به عنوان رایج‌ترین طیف‌های کاربردی در اندازه‌گیری‌های غیرمستقیم ویژگی‌های پوشش‌های گیاهی استفاده می‌شوند (۲۳ و ۳۰).

در سنجش از دور کاربردی، شاخص پوشش گیاهی طیفی (Spectral Vegetation Index) به منظور ارزیابی کمی و کیفی غیر تخریبی پوشش‌های گیاهی پیشنهاد و معرفی شده‌اند (۱۴). شاخص پوشش گیاهی در واقع عملیات ریاضی بین دو یا چند ارزش طیفی است که مقدار عددی (Digital Number=DN) را برای هر جزء تصویر (Pixel) بیان می‌نماید تا بتوان آن را به آسانی و با سرعت تفسیر نمود و نتیجه‌گیری کرد (۲۸). شاخص‌های پوشش گیاهی نسبت به کاربرد جدأگانه هر طیف اطلاعات دقیق‌تر و سودمندتری را ارائه می‌نمایند. روش‌های مختلفی برای طبقه‌بندی شاخص‌های پوشش گیاهی پیشنهاد شده است (۲، ۱۵ و ۲۳).

ساده‌ترین و اولین شاخص‌های پوشش گیاهی، شاخص نسبت ساده (Simple Ratio=SR) و شاخص پوشش گیاهی

(Remote Sensing) به منبع ارزشمند و مطمئنی از اطلاعات برای مدیریت تولیدات کشاورزی و ارزیابی عرضه و تقاضای جهانی این محصولات تبدیل شده است. سنجش از دور یک روش مشاهده غیرمستقیم و غیرتخریبی است که اطلاعات گستره‌های را در مورد پدیده‌ها (از جمله گیاهان زراعی) بدون تماس با آنها فراهم می‌آورد. اساس علم سنجش از دور بر ثبت ویژگی‌های طیفی پدیده‌ها و جمع‌آوری اطلاعات بر پایه تجزیه و تحلیل انرژی دریافت شده از پدیده‌های مورد نظر است. سنجنده‌ها (Sensors) انرژی رسیده از پدیده را شناسایی، ثبت و پردازش می‌کنند. منبع این انرژی در کشاورزی و منابع طبیعی خورشید است.

ابزارهای سنجش از دور، انرژی را در بخش‌های فرابنفش، مرئی، مادون قرمز و ریزموچ طیف الکترومغناطیسی در دامنه‌ای از طول موج $300\text{ نانومتر تا }30\text{ سانتی متر آشکار می‌سازد}$ (۱). بخش کوچکی از طیف الکترومغناطیس در کشاورزی کاربرد دارد که این باندهای طیفی شامل نور مرئی، مادون قرمز نزدیک و یک یا چند باند مادون قرمز میانی هستند.

فن‌آوری سنجش از دور در پژوهش‌های محیط زیست و کشاورزی استفاده گستره‌ای دارد (۲۰). امروزه از این فن‌آوری در تعیین سطح زیر کشت، پایش رشد و مراحل رویشی، برآورد کیفیت، تولید و عملکرد گیاهان زراعی، شناسایی و مدیریت بیماری‌ها و آفات، مدیریت آبیاری، بررسی وضعیت تغذیه و کمبود عناصر غذایی، تشخیص تنش‌های محیطی، برآورد خسارت تنش‌ها به تولید گیاهان زراعی، تهیه آمار کشاورزی، برنامه‌ریزی صادرات و واردات در سطح ملی و برقراری تعادل در بازار محصولات استفاده می‌شود.

بسیاری از کاربردهای سنجش از دور در کشاورزی و منابع طبیعی به آگاهی از ویژگی‌های طیفی برگ گیاهان بستگی دارد (۱۱ و ۳۰). الگوی واکنش طیفی گیاهان سالم، نشان از جذب بالای انرژی الکترومغناطیس تابش خورشیدی در دامنه نور مرئی ($400\text{ تا }700$ نانومتر) و بازتاب شدید در دامنه نور مادون

چغnderقند و بهره‌گیری از آنها در پایش و شناسایی محصول، تعیین سطح زیر کشت، برآورد عملکرد و پیش‌بینی تولید، مدیریت آب و تغذیه و مدیریت آفات و بیماری‌ها و علف‌های هرز بود.

مواد و روش‌ها

منطقه مورد مطالعه شهرستان اقلید در شمال استان فارس در محدوده جغرافیایی ۵۲ درجه و ۵۵ دقیقه طول شرقی و ۳۱ درجه و ۱۳ دقیقه عرض شمالی بود که دارای بیشترین سطح زیر کشت و تولید چغnderقند استان است. کشت چغnderقند در این منطقه به صورت فاریاب و زمان کاشت از دهه سوم اردیبهشت آغاز و تا پایان خرداد ادامه دارد. برداشت چغnderقند از ابتدای مهر آغاز و تا اوایل آذر به درازا می‌انجامد. میانگین بارندگی سالیانه شهرستان اقلید ۳۳۰ میلی‌متر، میانگین رطوبت نسبی ۳۳ درصد، میانگین دمای سالیانه ۱۲/۸ درجه سانتی‌گراد، میانگین حداکثر و حداقل مطلق دما به ترتیب ۳۴/۵ و ۱۳/۶ درجه سانتی‌گراد است. در این منطقه به طور میانگین ۵۰ روز بارانی و ۸۶ روز یخ‌بندان وجود دارد. این منطقه از نظر طبقه‌بندی اقلیمی آمریزه و دومارتن جزو اقلیم نیمه خشک و مطابق روش کریمی دارای اقلیم نیمه مرطوب با تابستان معتدل و زمستان سرد است.

برای انجام این پژوهش از تصاویر سنجنده MODIS استفاده شد. سنجنده خورشید آهنگ MODIS که بر روی دو ماهواره Terra و Aqua قرار دارد، هر ۱-۲ روز از تمامی سطح کره زمین تصویربرداری می‌نماید (۳). این سنجنده دارای سه تفکیک‌پذیری مکانی (Spatial Resolution) ۵۰۰، ۲۵۰ و ۱۰۰۰ متر است که به ترتیب در دو، هفت و ۳۶ باند طیفی جداگانه از طول موج ۴۰۰ تا ۱۴۴۰۰ نانومتر داده‌های مختلف را جمع‌آوری می‌نماید. ماموریت سنجنده MODIS جهت مطالعه منابع زمینی، اقیانوسی و اتمسفری در سال ۱۹۹۸ توسط ناسا آغاز شد.

تعداد ۲۲ تصویر سنجنده MODIS از مجموعه فرآورده

نسبی (Ratio Vegetation Index=RV) هستند که عکس یکدیگرند و برای برآورد و پایش پوشش گیاهی به کار می‌روند (۱۶). رایج‌ترین شاخص پوشش گیاهی، شاخص پوشش گیاهی Normalized Difference Vegetation (NDVI) است. مقدار این شاخص از +۱ تا -۱ متغیر است، پوشش‌های گیاهی سالم دارای مقدار مثبت، سطوح بدون پوشش مانند آب، برف، یخ یا ابرها دارای مقدار منفی و خاک بدون پوشش دارای مقدار نزدیک صفر است (۱۹). پوشش‌های گیاهی تشدیده و یا با تراکم کم دارای مقدار مثبت کمتری هستند اما پوشش‌های متراکم و سایه‌اندازهای چند لایه دارای مقدار بیشتری هستند. در طول یک فصل رشد با افزایش سطح برگ و پوشش گیاهی شاخص NDVI نیز افزایش یافته و بیشینه مقدار آن با بیشینه سطح برگ، همزمان است. با نزدیک شدن به پایان فصل و پیری اندام‌های هوایی این شاخص نیز کاهش می‌یابد.

از نسبت بازتاب طول موج‌های مادون قرمز به قرمز جهت تعیین درصد پوشش زمین توسط برگ‌های سبز و سالم چغnderقند استفاده شد (۲۴). شاخص NDVI نیز به عنوان یک نشانه خوب برای تفاوت بین رشد و گسترش برگ چغnderقند در آغاز تابستان گزارش شد (۱۴). هم‌چنین استفاده از شاخص‌های پوشش گیاهی تعديل‌کننده بازتاب خاک در تعیین پوشش گیاهی ناشی از سایه‌انداز چغnderقند موفقیت‌آمیز بوده است (۲۹).

در صنعت قند برآورد تولید چغnderقند اهمیت بسیاری دارد زیرا برای فصل فرآوری قند و شکر باید سرمایه، نیروی انسانی و مواد اولیه مورد نیاز پیش‌بینی شود. روش‌های مبتنی بر نمونه‌برداری از مزارع پیش از آغاز برداشت زمان‌بر، نیازمند نیروی انسانی و صرف هزینه است. داده‌های سنجش از دور با فراهم آوردن اطلاعات در سطح منطقه با قابلیت تکرار زمانی توانایی برآورد عملکرد چغnderقند و تولید نهایی را دارند. هدف از این پژوهش بررسی امکان استفاده از داده‌های سنجنده (Moderate Resolution Imaging Spectroradiometer) MODIS و شاخص‌های مبتنی بر آنها جهت مطالعه رشد و نمو محصول

شده برای هموارسازی (Smoothing) و محاسبه مشتقات مجموعه‌ای از مقادیر متوالی است. با این روش اختلالات باقی‌مانده در داده‌های ماهواره‌ای که ناشی از وجود آلودگی‌های جوی، تصحیح اتمسفری ناقص و یا زاویه نامناسب سنجنده در هنگام تصویربرداری است، به طور مؤثری از بین می‌رود. در نهایت داده‌های تراز شده می‌تواند وضعیت رشد گیاه زراعی در طول زمان را به طور واقعی بیان نماید.

تغییر سیستم مختصات تصاویر ماهواره‌ای و استخراج ارزش عددی هر جزء تصویر توسط نرم‌افزار ENVI نسخه 4.3 صورت گرفت. اعمال فیلتر ساویتسکی - گلای با نرم‌افزار شاخص‌های پوشش گیاهی انجام شد. با استفاده از نرم‌افزار شاخص‌های پوشش گیاهی انجام شد. با استفاده از نرم‌افزار قرمز و مادون قرمز نزدیک و شاخص‌های پوشش گیاهی ساخته شده محاسبه گردید.

نتایج و بحث

روندهای تغییرات فصلی بازتاب قرمز و مادون قرمز نزدیک در مزارع چغندرقند در شکل ۱ نشان داده شده است. قبل از کاشت گیاه زراعی (تا پایان ارديبهشت) بازتاب نور قرمز (۰/۱۹۵) و مادون قرمز نزدیک (۰/۲۹۷) اختلاف نسبتاً کمی (۰/۱۰۲) داشتند، سطح زمین بدون پوشش گیاهی و بازتاب تنها تحت تأثیر خاک بدون پوشش بود. این اختلاف با سبز شدن گیاهچه و استقرار آن (از آغاز خرداد تا نیمه تیر) کمی بیشتر شد (۰/۱۵۳). در واقع در این حالت پوشش گیاهی بسیار کم و سطح کمی از زمین را پوشانده بود و عمدۀ بازتاب سهم خاک بدون پوشش بود.

با گذشت زمان و رشد بیشتر گیاه زراعی در طول دوره رشد، الگوی تغییرات بازتاب نیز تغییر کرد. با گسترش اندام هوایی گیاه و افزایش سطح برگ و پوشش بیشتر سطح خاک این اختلاف (۰/۲۵۸) بیشتر شد. کمترین بازتاب (یا بیشترین جذب) طیف قرمز (۰/۱۵۶) و هم‌چنین بیشترین بازتاب مادون

MODIS Terra/Aqua Surface Reflectance 8-) MOD09Q1 (Day L3 Global 250 m, Collection 5) مربوط به نیمه ماه می تا آغاز ماه نوامبر سال ۲۰۱۱ (دهه پایانی ارديبهشت تا دهه آغازین آذر ۱۳۹۰) از سامانه the MODAPS (HDF-EOS Adaptive Processing System (Hierarchical Data Format-Earth Observing System) (https://lpdaac.usgs.gov/lpdaac/get_data/data_pool)). فرآورده MOD09Q1 دارای داده‌های بازتاب سطحی در دو باند قرمز (۶۲۰ تا ۶۷۰ نانومتر) و مادون قرمز نزدیک (۸۴۱ تا ۸۷۶ نانومتر) در مجموعه‌های هشت روزه در تفکیک‌پذیری مکانی ۲۵۰ متر و به صورت مجموعه بیشترین مقدار (Maximum Value Composite=MVC) است (۲۷). تاریخ هر مجموعه نشان‌دهنده روز آغازین هر دوره است. بر روی این مجموعه‌ها پیش پردازش‌های مقدماتی شامل زمین مرجع نمودن، تصحیح رادیومتری و اتمسفری انجام شده است. داده‌های قاب تصویر ردیف ۲۲ و ستون ۵ (tile H22, V05) که منطقه مورد مطالعه در آن قرار داشت، پس از دانلود از سیستم مختصات Sinusoidal به سیستم طول و عرض جغرافیایی WGS-1984 تبدیل شد. برای انجام این مطالعه تعداد ۲۰ مزرعه چغندرقند انتخاب، مختصات آنها توسط گیرنده دستی سامانه موقعیت یاب جهانی (GPS) مدل گارمین مشخص و نقشه هر یک تهیه و به صورت چند ضلعی (Polygon) روی تصویرها قرار داده شد.

برای هر مجموعه هشت روزه با استفاده از دو باند قرمز و مادون قرمز تعدادی از شاخص‌های پوشش گیاهی به صورت سری‌های زمانی (Time-Series) محاسبه شد که در جدول ۱ آورده شده است. اگرچه در تهیه این شاخص‌ها از مجموعه بیشترین مقدار هر باند استفاده شد، اما به دلیل وجود اختلال (Noise) در تهیه سری‌های زمانی با کیفیت عالی، روش کاهش اختلال فیلتر ساویتسکی - گلای (Savitzky-Golay filter=SG) به کاربرده شد (۲۱). پیشنهاد ساویتسکی - گلای که در سال ۱۹۶۴ ارائه شد براساس پیچشی از برازش کمترین مربعات ساده

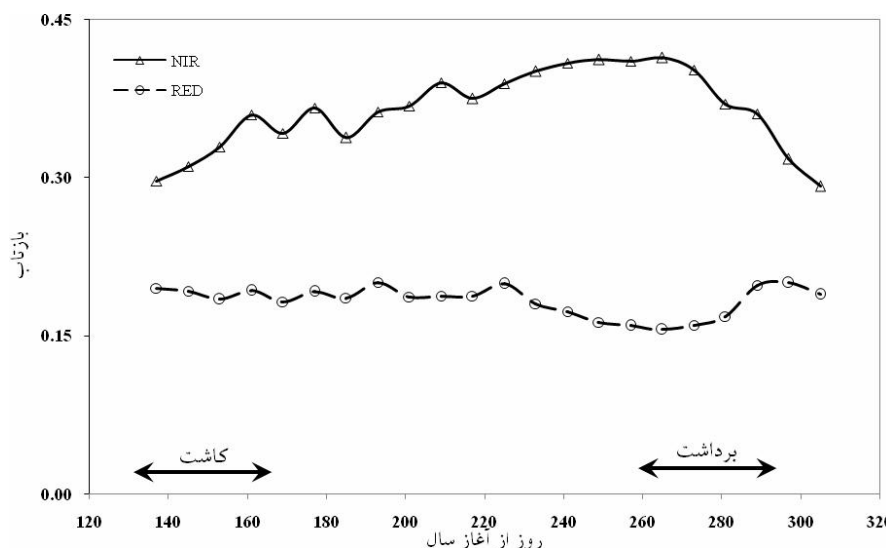
جدول ۱. شاخص‌های پوشش گیاهی استفاده شده در این پژوهش و روش محاسبه آنها

شاخص پوشش گیاهی	معادله	منبع
Simple Ratio (SR)	NIR/RED	(۶)
Ratio Vegetation Index (RVI)	RED/NIR	(۲)
Difference Vegetation Index (DVI)	NIR-RED	(۲)
Modified Simple Ratio (MSR)	$[(NIR/RED)-1]/[(NIR/RED)+1]^{0.5}$	(۸)
Normalized Difference Vegetation Index (NDVI)	$(NIR-RED)/(NIR+RED)$	(۲)
Soil Adjusted Vegetation Index (SAVI)	$[(NIR-RED)/(NIR+RED+L)]^*(1+L)$	(۲۳)
Transformed Vegetation Index (TVI)	$(NDVI+0.5)^{0.5}$	(۲)
Enhanced Vegetation Index 2 (EVI2)	$2.5*(NIR-RED)/(1+NIR+2.4RED)$	(۱۸)
Modified Soil Adjusted Vegetation Index (MSAVI)	$(2NIR+1-[(2NIR+1)^2-8(NIR-RED)]^{0.5})/2$	(۲۳)
Wide Dynamic Range Vegetation Index (WDRVI)	$(0.1*NIR-RED)/(0.1*NIR+RED)$	(۱۲)
Weighted Difference Vegetation Index (WDVI)	$NIR-\alpha.RED$	(۹)

NIR = بازتاب در باند مادون قرمز (باند ۱) RED = بازتاب در باند قرمز (باند ۲)

L = ضریب تصحیح برای پوشش گیاهی که عموماً آن را $5/0$ در نظر می‌گیرند.

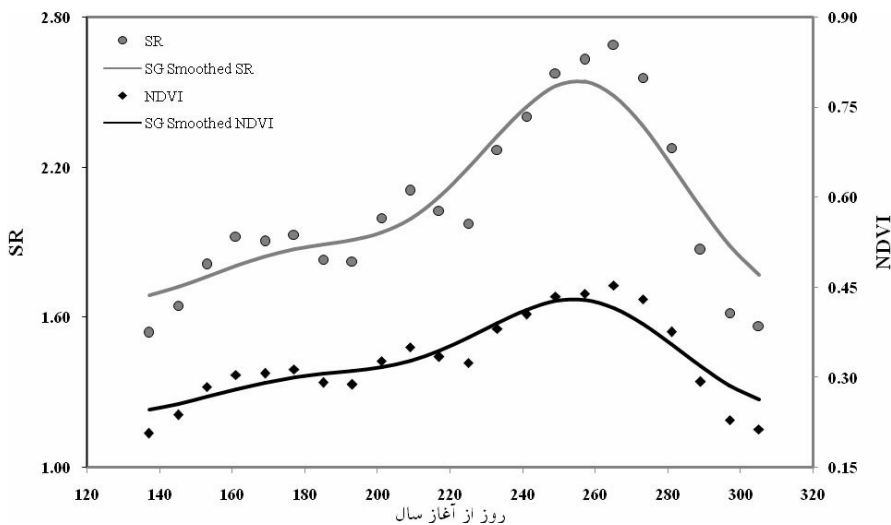
α = نسبت بازتاب طول موج‌های مادون قرمز نزدیک به قرمز از سطح خاک بدون پوشش



شکل ۱. روند تغییرات بازتاب طول موج‌های قرمز و مادون قرمز نزدیک در طول دوره رشد چغندرقند در منطقه اقلید

سبز شدن تا زمان سایه‌اندازی کامل مقدار بازتاب نور قرمز 20° درصد (از 195° به 156°) کاهش و طیف مادون قرمز نزدیک 42° درصد (از 297° به 414°) افزایش یافت. با فرا رسیدن زمان برداشت (از آغاز مهر) این وضعیت

قرمز نزدیک (412°) در زمان بیشترین پوشش گیاهی و سطح برگ از نیمه مرداد تا پایان شهریور مشاهده گردید. در این گستره زمانی شاخصاره شاداب بوده، دارای بیشترین سطح برگ بود و بدون تنش به رشد خود ادامه می‌داد. به طور کلی از آغاز



شکل ۲. روند تغییرات بازتاب شاخص‌های SR و NDVI در طول دوره رشد چغندرقند در منطقه اقلید

شده است. باند قرمز با باند مادون قرمز نزدیک همبستگی منفی و معنی‌داری (۰/۶۳۲) داشت، به این معنی که تغییرات دو باند برخلاف یکدیگر بود. در طول دوره رشد نیز افزایش جذب باند قرمز با بازتاب بیشتر باند مادون قرمز همراه بود (شکل ۱). باند قرمز فقط با شاخص RVI همبستگی مثبت و معنی‌داری (۰/۸۲۶) نشان داد. روند تغییرات شاخص RVI نشان داد که این شاخص به خوبی در نشان دادن وضعیت جذب و بازتاب نور قرمز در طول دوره رشد سایه‌انداز چغندرقند توانایی داشت (شکل‌های ۱ و ۳).

باند مادون قرمز نزدیک فقط با شاخص RVI همبستگی بسیار قوی و منفی معنی‌داری (۰/۹۵۳) داشت اما با دیگر شاخص‌ها همبستگی مثبت و معنی‌داری نشان داد. شاخص‌های WDRVI، TVI، RVI، EVI2، MSR، DVII، NDVI، SR، WDVII، SAVI2 و MSAVI2 با یکدیگر همبستگی مثبت و معنی‌داری داشتند و روندانشان در طول دوره رشد شبیه به یکدیگر بود (شکل‌های ۲ و ۳).

الگوی تغییرات فصلی شاخص SR در شکل ۲ نشان داده شده است. مقدار شاخص SR در طول دوره رشد متفاوت بود. این شاخص پیش از کاشت در کمترین مقدار خود بود (۰/۱۵۳۸) و با سبز شدن گیاهچه‌ها، استقرار بوته‌ها و گسترش سایه‌انداز

دوباره دستخوش تغییرات شد و به حالت آغازین دوره رشد باز گشت. برداشت مزارع چغندرقند در گستره زمانی مهر و آبان سبب کاهش پوشش گیاهی و در نتیجه کاهش چشمگیر بازتاب مادون قرمز نزدیک (۰/۲۹۲) و افزایش نسبی بازتاب قرمز (۰/۱۸۹) شد (شکل ۱). این تغییر در نهایت به جایی رسید که اختلاف این دو طیف همانند آغاز فصل گردید (۰/۱۰۳) که بازتاب تنها تحت تأثیر خاک بدون پوشش بود.

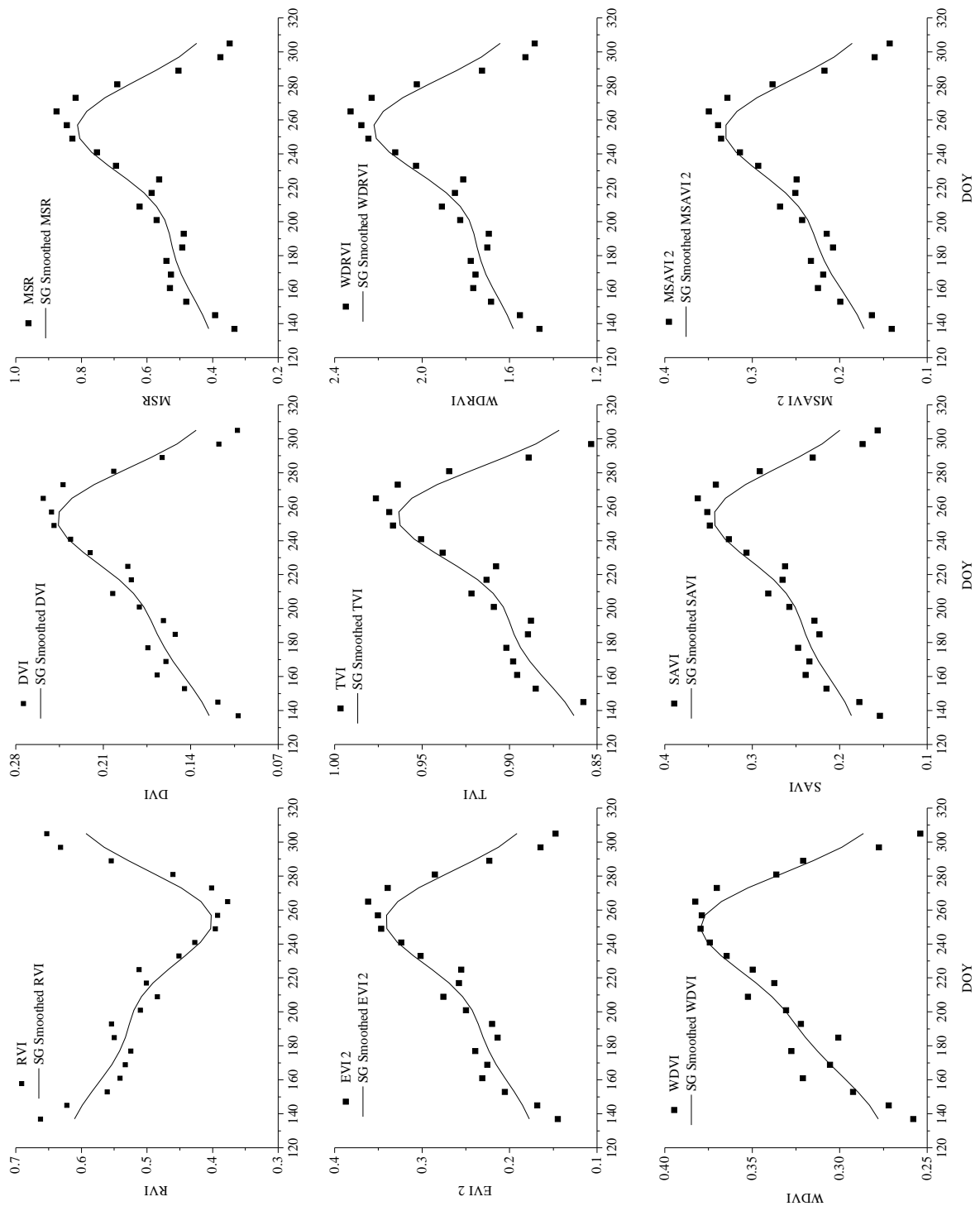
در بررسی‌های الگوی تغییرات بازتاب طیفی در سایه‌اندازهای گیاهان زراعی مانند برنج (۵)، گندم (۲۶)، چغندرقند (۲۴) و ذرت و سویا (۱۰)، روند افزایشی بازتاب مادون قرمز و هم‌چنین افزایش جذب طول موج قرمز و به عبارتی کاهش بازتاب این طیف در نتیجه رشد و گسترش سایه‌انداز گیاه زراعی مورد توجه قرار گرفته است. لازم به ذکر است که در اثر تنفس‌های زیستی و یا محیطی این روند تغییر می‌کند. برای مثال در شرایط کمبود نیتروژن، بازتاب نور مرئی و مادون قرمز دور بهتر ترتیب به دلیل کم شدن مقدار کلروفیل و کاهش لایه‌های سلولی کاهش یافت (۲۵).

انتخاب شاخص یا شاخص‌های مناسب برای پایش رشد گیاهان زراعی اهمیت ویژه‌ای دارد. نتایج همبستگی بین دو باند اصلی و شاخص‌های به دست آمده از آنها در جدول ۲ آورده

جدول ۲. ضریب همبستگی ساده پیرون و سطح معنی داری بین دو باند اصلی و شاخص‌های پوشش گیاهی

شاخص	RED	NIR	SR	RVI	NDVI	DVI	MSR	EVI2	TVI	WDRVI	WDVI	SAVI	MSAVI2
MSAVI2													
SAVI	-0.81949**	0.96165**	0.98345**	-0.99763**	0.99817**	0.99849**	0.99447**	0.99986**	0.99841**	0.99223**	0.99841**	0.97513**	1
WDVI	-0.67349**	0.99851**	0.93541**	-0.96772**	0.96053**	0.985**	0.94826**	0.97364**	0.96387**	0.94314**	0.9925**	0.99773**	0.97573**
WDRVI	-0.87833**	0.92377**	0.99956**	-0.98899**	0.99619**	0.98575**	0.99975**	0.99959**	0.99548**	0.9936**	0.999375**	1	
TVI	-0.84038**	0.9483**	0.99005**	-0.99932**	0.9997**	0.99814**	0.9983**	0.99405**	0.99599**	0.99798**	1		
EVI2	-0.82394**	0.95676**	0.99029**	-0.9966**	0.99814**	0.9983**	0.99405**	0.99548**	0.99975**	0.99975**	1		
MSR	-0.87158**	0.92963**	0.99866**	-0.99204**	0.99789**	0.98841**	1						
NDVI	-0.79093**	0.97411**	0.98135**	-0.99393**	0.993338**	0.993338**	1						
RVI	0.82607**	-0.9534**	-0.98424**	1									
SR	-0.88592**	0.91502**	1										
NIR	-0.63211**	1											
RED	1												

* و **: به ترتیب به معنی دار در سطح احتمال ۵% و ۱%



شکل ۳. روند تغییرات شاخص‌های RVI، DVI، TVI، EVI2، WDRVI، MSR، SAVI، MSAV12 و WDV1 در دوره رشد چمندرنگد در مزنانه اقبال

دیده شد. در این گیاه چون در سال اول رسیدگی فیزیولوژیکی رخ نمی‌دهد و هم‌چنین شرایط اقلیمی سبب از بین رفتن برگ و کاهش اندام هوایی و یا تغییر رنگ برگ نمی‌گردد، بلکه هوای خنک موجب افزایش دوام سطح برگ نیز می‌شود، برخلاف بسیاری از گیاهان زراعی دیگر، بازتاب طول موج مادون قرمز نزدیک و جذب نور قرمز به بیشترین مقدار خود می‌رسد. در واقع کاهش بازتاب مادون قرمز نزدیک و هم‌چنین کاهش جذب طول موج قرمز بهدلیل کاهش پوشش سایه‌انداز گیاهی در مزارع چغnderقند بهدلیل انجام عملیات برداشت بوده است. در گیاهانی زراعی مانند گندم، جو، ذرت و آفتابگردان پیش از برداشت و در زمان دانه‌بندی و رسیدگی بهدلیل پیری برگ و از بین رفتن تدریجی کلروفیل بخش قابل توجهی از برگ‌ها، کاهش چشمگیر بازتاب مادون قرمز نزدیک به همراه افزایش بازتاب طیف قرمز رخ داده و شاخص NDVI نیز حدود ۶۰ درصد کاهش می‌یابد (۲۲).

به‌طورکلی نتایج این پژوهش نشان داد که تصاویر ماهواره‌ای و فنون سنجش از دور در شرایط اقلیمی و مدیریت زراعی در واحدهای کشاورزی استان و کشور در پایش تغییرات رشد سایه‌اندازهای گیاهان زراعی از جمله چغnderقند مناسب هستند. در واقع توانایی مجموعه بیشترین مقدار داده‌های بازتاب سطحی دو باند قرمز و مادون قرمز نزدیک سنجنده MODIS در دوره‌های هشت روزه و در تفکیک‌پذیری مکانی ۲۵۰ متر و شاخص‌های پوشش گیاهی ساخته شده از آنها به‌ویژه SR و NDVI به تأیید رسید. با استفاده از این فن‌آوری می‌توان نهاده‌های مصرفی را (به‌ویژه در راه کمک به حل بحران کم‌آبی) به‌طور بهینه مدیریت نمود.

سپاسگزاری

بدین وسیله از پشتیبانی مالی و تدارکاتی سازمان تحقیقات، آموزش و ترویج کشاورزی، مؤسسه تحقیقات اصلاح و تهییه بذر چغnderقند و مرکز تحقیقات کشاورزی و منابع طبیعی استان فارس قدردانی به عمل می‌آید.

روندی افزایشی داشت (۱/۸۴۱). در زمان بیشترین پوشش گیاهی که هم‌زمان با بیشترین بازتاب طیف مادون قرمز نزدیک و کمترین بازتاب نور قرمز بود مقدار شاخص SR نیز به اوج خود رسید (۲/۶۹۱). با آغاز برداشت مزارع چغnderقند مقدار این شاخص کاهش یافت و همانند ابتدای فصل شد (۱/۵۶۵). تغییرات مورفو‌لوژیک سایه‌انداز سبب بروز تغییر در شاخص‌های پوشش گیاهی می‌شود (۱۳). نسبت طیفی SR شاخصی مناسب برای تغییرات پوشش گیاهی در سطح‌های بزرگ بوده و با تابش دریافتی توسعه سایه‌انداز گیاهی ارتباط دارد (۱۷). در آغاز، کاربرد SR به عنوان یک شاخص موفق در پایش رشد در برنج و گندم نشان داده شده است (۵ و ۲۶). چنین وضعیتی در مورد گیاهان سالم چغnderقند نیز گزارش شده و به عنوان اولین شاخص برای پایش رشد پوشش گیاهی چغnderقند معرفی شده است (۲۴). در چغnderقند از رابطه این شاخص با سطح پوشش سایه‌انداز گیاهی جهت برآورد تابش دریافتی استفاده شده است. رخداد تنش‌های محیطی (خشکی)، کمبود عناصر غذایی و یا خسارت آفات و بیماری‌ها کاربرد این شاخص را محدود نماید.

شاخص NDVI به عنوان پرکاربردترین شاخص در بررسی پوشش سبز و پایش رشد گیاهان معرفی شده است (۱۴). روند تغییرات این شاخص نسبت به زمان نیز همانند شاخص SR، اما مقدار شاخص NDVI به مراتب کمتر از آن بود (شکل ۲). پیش از کاشت، مقدار این شاخص $207/0$ بود که پس از سبز شدن گیاهچه‌ها استقرار بوته‌ها و گسترش سایه‌انداز به $290/0$ رسید. در زمانی که سایه‌انداز چغnderقند بیشترین سطح خاک را پوشانیده بود، NDVI نیز با $454/0$ دارای بیشترین مقدار بود. اما پس از آغاز برداشت از مقدار این شاخص کاسته شد و به $214/0$ رسید. شاخص NDVI نیز به روشنی وضعیت پوشش سبز مزارع چغnderقند در طول دوره رشد را نشان داد. اهمیت این شاخص از آغاز دهه ۱۹۸۰ میلادی در پایش رشد و برآورد عملکرد گیاهان زراعی مورد تأکید قرار گرفت (۴). بیشترین مقدار دو شاخص SR (۲/۶۹۱) و NDVI (۰/۴۵۴) در شهریورماه و درست پیش از آغاز برداشت مزارع چغnderقند

منابع مورد استفاده

1. Aronoff, S. 2005. Remote sensing basics. PP. 53-68, In: S. Aronoff (Ed.), *Remote Sensing for GIS Managers*. ESRI Press, Redlands, CA.
2. Bannari, A., D. Morin, F. Bonn and A. Huete. 1995. A review of vegetation indices. *Remote Sensing Reviews* 13:95-120.
3. Barnes, W.L., T.S. Pagano and V.V. Salomonson. 1998. Prelaunch characteristics of the moderate resolution imaging spectroradiometer (MODIS) on EOS-AM1. *IEEE Transactions on Geoscience and Remote Sensing* 36:1088-1100.
4. Becker-Reshef, I., E. Vermote, M. Lindeman and C. Justice. 2010. A generalized regression-based model for forecasting winter wheat yields in Kansas and Ukraine using MODIS data. *Remote Sensing of Environment* 114:1312-1323.
5. Berg, J., G. Flouzat and S.G. De Paratesi. 1978. Agreste Project: Agricultural Resources Investigations in Northern Italy and Southern France: Final Report Commission of the European Communities, Nasa.
6. Birth, G.S. and G. R. McVey. 1968. Measuring the color of growing turf with a reflectance spectrophotometer. *Agronomy Journal* 60:640-643.
7. Campbell, J.B. 2011. *Introduction to Remote Sensing*. Guilford Press, New York.
8. Chen, J. M. 1996. Evaluation of vegetation indices and a modified simple ratio for boreal applications. *Canadian Journal of Remote Sensing* 22:229-242.
9. Clevers, J. G. P.W., C. Büker, H. J. C. van Leeuwen and B. A. M. Bouman. 1994. A framework for monitoring crop growth by combining directional and spectral remote sensing information. *Remote Sensing of Environment* 50:161-170.
10. Doraiswamy, P.C., J.L. Hatfield, T.J. Jackson, B. Akhmedov, J. Prueger, and A. Stern. 2004. Crop condition and yield simulations using Landsat and MODIS. *Remote Sensing of Environment* 92:548-559.
11. Gausman, H., W. Allen, R. Cardenas and A. Richardson. 1970. Relation of light reflectance to histological and physical evaluations of cotton leaf maturity. *Applied Optics* 9:545-552.
12. Gitelson, A. A. 2004. Wide dynamic range vegetation index for remote quantification of biophysical characteristics of vegetation. *Journal of Plant Physiology* 161:165-173.
13. Hatfield, J. L., A. A. Gitelson, J. S. Schepers and C. Walthall. 2008. Application of spectral remote sensing for agronomic decisions. *Agronomy Journal* 100:S117-131.
14. Hoffmann, C. and M. Blomberg. 2004. Estimation of leaf area index of *Beta vulgaris* L. based on optical remote sensing data. *Journal of Agronomy and Crop Science* 190:197-204.
15. Jackson, R. D. and A. R. Huete. 1991. Interpreting vegetation indices. *Preventive Veterinary Medicine* 11:185-200.
16. Jordan, C. F. 1969. Derivation of leaf-area index from quality of light on the forest floor. *Ecology* 50: 663-666.
17. Kumar, M. and J. Monteith. 1981. Remote sensing of crop growth, PP. 133-144, In: H. Smith (Ed.), *Plants and the Daylight Spectrum*. British Photobiology Society, Leicester, UK.
18. Miura ,T., H. Yoshioka, K. Fujiwara and H. Yamamoto. 2008. Inter-comparison of ASTER and MODIS surface reflectance and vegetation index products for synergistic applications to natural resource monitoring. *Sensors* 8:2480-2499.
19. Mkhabela, M. S., P. Bullock, S. Raj, S. Wang and Y. Yang. 2011. Crop yield forecasting on the Canadian Prairies using MODIS NDVI data. *Agricultural and Forest Meteorology* 151:385-393.
20. Nellis, M. D., K. P. Price and D. Rundquist. 2009. Remote sensing of cropland agriculture. *The SAGE Handbook of Remote Sensing* 1:368-380.
21. Ren, J., Z. Chen ,Q. Zhou and H. Tang. 2008. Regional yield estimation for winter wheat with MODIS-NDVI data in Shandong, China. *International Journal of Applied Earth Observation and Geoinformation* 10:403-413.
22. Sanaienejad, S.H., A. R. Shah Tahmasbi, R. Sadr Abadi Haghghi and K. Kelarestani. 2008. A study of spectral reflection on wheat fields in Mashhad using MODIS data. *Journal of Crop Production and Processing* 12: 11-19. (In Farsi).
23. Silleos, N. G., T. K. Alexandridis, I. Z. Gitas and K. Perakis. 2006. Vegetation indices: advances made in biomass estimation and vegetation monitoring in the last 30 years. *Geocarto International* 21:21-28.
24. Steven, M., P. Biscoe and K. Jaggard. 1983. Estimation of sugar beet productivity from reflection in the red and infrared spectral bands. *International Journal of Remote Sensing* 4:325-334.
25. Thomas, J. and G. Oerther. 1972. Estimating nitrogen content of sweet pepper leaves by reflectance measurements. *Agronomy Journal* 64:11-13.
26. Tucker, C. J., B. N. Holben, J. H. Elgin Jr and J. E. McMurtrey III. 1981. Remote sensing of total dry-matter accumulation in winter wheat. *Remote Sensing of Environment* 11:171-189.
27. Vermote, E. F., S.Y. Kotchenova and J. P. Ray. 2011. MODIS surface reflectance user's guide. MODIS Land Surface Reflectance Science Computing Facility, Version 1.3.1.

28. Viña, A., A. A. Gitelson, A. L. Ngay-Robertson and Y. Peng. 2011. Comparison of different vegetation indices for the remote assessment of green leaf area index of crops. *Remote Sensing of Environment* 115:3468-3478.
29. Vyas, S., M. Steven and K. Jaggard. 1997 .Leaf area estimation for sugar beet yield prediction using ERS-SAR data. *European Space Agency-Publications-ESA SP* 414:237-240.
30. Wood, G. A., J. C. Taylor and R. J. Godwin. 2003. Calibration methodology for mapping within-field crop variability using remote sensing. *Biosystems Engineering* 84:409-423.